

УДК [628.161.2:546.19] 621.359.7: 66.081.63

Л.А. Мельник, Ю.В. Бабак, А.О. Самсони-Тодоров, В.В. Гончарук

УДАЛЕНИЕ СОЕДИНЕНИЙ МЫШЬЯКА В ПРОЦЕССАХ ЭЛЕКТРОДИАЛИЗНОГО И ОБРАТНООСМОТИЧЕСКОГО ОПРЕСНЕНИЯ ВОДЫ

Институт коллоидной химии и химии воды им. А.В. Думанского НАН Украины, г. Киев

В работе исследованы процессы мембранных опреснения модельных растворов, содержащих соединения As(V) и As(III). В качестве мембран использовали ионообменные мембранные МК-40 и МА-40 и обратноосмотическую мембрану ESPA-1. Показано, что даже при сравнительно низком содержании As в воде (50–100 мкг/дм³) метод электродиализа не позволяет получать диализаты, удовлетворяющие требования к питьевой воде по содержанию этого микрэлемента (10 мкг/дм³). Коэффициент задержки As(V) в процессе обратноосмотического опреснения достигает 97,7–99,0% при исходной концентрации мышьяка в растворе 50,0–300,0 мкг/дм³, в то время, как аналогичная характеристика для As(III) составляет лишь 75,5%. Таким образом, гарантией высокоэффективной задержки соединений мышьяка в процессе обратного осмоса является полная трансформация As(III) в As(V) в процессе предварительной обработки. Показано, что использование предварительной УФ или УФ/TiO₂ обработки растворов (продолжительность 1–5 мин), содержащих As(III), обеспечивает рост коэффициента задержки мышьяка мембранный ESPA-1 до 94,1–98,0%, а концентрация этого микрокомпонента в пермеате снижается до 0,8–4,8 мкг/дм³.

Ключевые слова: соединения мышьяка, удаление из воды, электродиализ, обратный осмос.

© Л.А. Мельник, Ю.В. Бабак, А.О. Самсони-Тодоров, В.В. Гончарук, 2014

Введение

В настоящее время мышьяк рассматривается как наиболее опасное неорганическое загрязнение питьевой воды [1,2]. Опираясь на новейшие данные о канцерогенности и генотоксичности этого микроэлемента при хроническом потреблении даже в микроколичествах с питьевой водой, ВООЗ в 1993 году снизила его предельно-допустимую концентрацию (ПДК) в питьевой воде с 50 до 10 мкг/дм³.

В подземных водах около 67–99% от общего количества мышьяка находится в виде арсенитной кислоты, которая практически во всем интервале pH (вплоть до 10) существует в виде недиссоциированных молекул. Это является причиной низкой эффективности удаления мышьяка в традиционных процессах водоочистки (коагуляция, сорбция) [3,4].

В связи с расширением в последние десятилетия практического применения мембранных методов опреснения (электродиализ, обратный осмос) [5,6] для получения питьевой воды из альтернативных источников водоснабжения актуальными являются исследования эффективности указанных методов в плане глубокой очистки воды от мышьяка.

Известно, что удаление арсената в процессе обратноосмотической обработки с использованием различных типов мембран составляет 88–99%, в то время как удаление арсенита – лишь 5–84% [3,7]. Что касается электродиализной обработки мышьяксодержащих растворов, то существуют лишь отдельные сведения о возможности извлечения до 80% As (с 21,0 до 3,0 мкг/дм³) [8] в процессе электромембранный обработки, однако, при этом ни о глубине опреснения, ни о формах извлекаемого мышьяка информация не приводится.

Цель настоящей работы состояла в исследовании возможностей глубокого извлечения соединений мышьяка при электродиализном и обратноосмотическом опреснении воды с использованием ионообменных мембран МК-40 и МА-40 и обратноосмотических мембран ESPA-1, наиболее часто применяемых в Украине для реализации указанных процессов, а также в разработке методов, повышающих эффективность мембранный очистки воды от мышьяка.

Методика эксперимента

Опыты по изучению кинетики удаления As(III, V) из раствора в процессе электродиализного опреснения осуществляли в семикамерном электродиализном аппарате.

Катод 1 А₁ 2 К₁ 3 А₂ 4 К₂ 5 А₃ 6 К₃ 7 Анод,

где 3, 5 – камеры обессоливания, 2,4,6 – камеры концентрирования, 1,7 – электродные каме-

ры. Камеры отделены друг от друга чередующимися мембранами МК-40 (К) и МА-40 (А) производства России в Na- и Cl-формах соответственно. Рабочая площадь одной мембраны 9,8 см², межмембранные расстояние – 5 мм. В качестве катода и анода использовали платину.

В камерах обессоливания 3,5 с линейной скоростью 5 см/с циркулировало 300 см³ модельного раствора, который содержал 50–110 мкг/дм³ As (III) или As(V) и 0,1 г-экв/дм³ NaCl. pH растворов составлял 8,0–8,2. Камеры концентрирования заполняли дистиллированной водой. В электродных камерах 1,7 циркулировал 0,2 М раствор сульфата натрия. Опыты осуществляли в гальваностатическом режиме при плотности электрического тока 0,5 А/дм². В процессе электродиализа из камер обессоливания периодически отбирали раствор, в котором определяли содержание мышьяка и хлорида натрия.

В отдельных опытах по удалению мышьяка(III) использовали модифицированные анионообменные мембранны МА-40, поверхность которых была заранее покрыта оксидом марганца(IV). Анионообменные мембранны размещали в электродиализном аппарате так, что модифицированная поверхность находилась со стороны камеры обессоливания 3 и 5.

Для получения модифицированной анионообменной мембранны использован опыт, полученный при исследовании процесса электродиализа марганецсодержащих растворов [9]. Для этого в камерах обессоливания 3,5 электродиализного аппарата с линейной скоростью 6,3 см/с циркулировало 5 дм³ раствора, который содержал 0,07 моль/дм³ хлорида натрия и 0,03 моль/дм³ сульфата натрия. В камеру концентрирования 4 с линейной скоростью 3,3 см/с подавали 1 дм³ раствора, который содержал 43,8 г/дм³ хлорида натрия, 17,8 г/дм³ сульфата натрия, 55 мг /дм³ марганца (pH – 6,4). В камеры концентрирования 2,6 подавали 0,2 М раствор хлорида натрия. Электродиализ осуществляли при плотности электрического тока 2,5 А/дм² на протяжении 7 и 14 ч, что обеспечивало превышение предельной плотности тока примерно в 3–7 раз. В этих условиях в тонкой примембранный области в камере обессоливания начинает диссоциировать вода и через анионообменную мембрану A₂ возникает поток OH⁻ ионов, которые при выходе из мембранны взаимодействуют с присутствующими в камерах концентрирования 4 ионами Mn(II). В результате этого на отдающей поверхности анионообменной мембранны A₂ образуется малорастворимый Mn(OH)₂, который окисляется кислородом воздуха до более высокого валентного состояния марганца.

Опыты по обратноосмотической обработ-

ке модельных растворов выполняли в непроточной («тупиковой») ячейке емкостью 348 см³. Площадь мембраны в ней составляла 28,3 см². Ячейка оборудована перемешивающим устройством и расположена над магнитной мешалкой. Скорость оборотов мешалки поддерживали на уровне 300±5 об./мин. Рабочее давление задавали сжатым азотом и контролировали образцовым манометром с точностью 0,1 МПа. Степень отбора пермеата составляла 50–75%.

В исследованиях использовали мембрану полиамидного типа ESPA-1 (США), которую усаживали на протяжении 1 ч при давлении 3,0 МПа с использованием дистиллированной воды.

Модельные растворы содержали 100–300 мкг/дм³ As и 1 г/дм³ хлорида натрия. pH растворов составлял 8,0–8,2.

Коэффициент задержки мышьяка (R) обратноосмотической мембраной определяли по формуле:

$$R = (C_{\text{исх.}} - C_{\text{перм.}} / C_{\text{исх.}}) \cdot 100\%,$$

где $C_{\text{исх.}}$ – концентрация As в исходном растворе; $C_{\text{перм.}}$ – концентрация As в пермеате.

As(III) дозировался в модельные растворы в виде стандартного раствора As₂O₃, а As(V) – в виде раствора Na₃AsO₄. pH растворов регулировали NaOH. Концентрацию мышьяка в исходных и обработанных пробах воды определяли методом масс-спектрометрии с индуктивно-связанной плазмой (ICP-MS) на приборе Agilent 7500cs. Натрий определяли атомно-абсорбционным методом.

В отдельных опытах перед обратноосмотической обработкой растворов, содержащих As(III), осуществляли их ультразвуковую (УЗ), УФ (ультрафиолетовую) и УФ/TiO₂ обработку.

УЗ кавитацию модельных растворов осуществляли с использованием установки УЗДН-1 при частоте 22 кГц и мощности 4,0–5,0 Вт/см². Объем раствора, который подлежал обработке, составлял 70 см³.

УФ-обработку осуществляли в кварцевом реакторе высотой 470 мм и внутренним диаметром 19 мм [10]. В качестве излучателя использовали кварцевую аргонно-ртутную лампу низкого давления ДРБ-20 с линией излучения 185 нм. Мощность линии излучения с длиной волны 185 нм составляла 1 Вт. Диаметр лампы 17 мм. Толщина слоя воды, подвергающегося УФ-обработке, составляла 1 мм. Объем обрабатываемого раствора – 70 см³.

УФ/TiO₂ обработку осуществляли в аналогичном реакторе, где на внутренней поверхности кварцевого кожуха путем предварительной химической и термической обработок был на-

несен фотокатализатор TiO₂. Толщина слоя катализатора составляла около 100 мкм.

Результаты и их обсуждение

Кинетика удаления As(III) из раствора при электромембранный обработке представлена на рис. 1, 2.

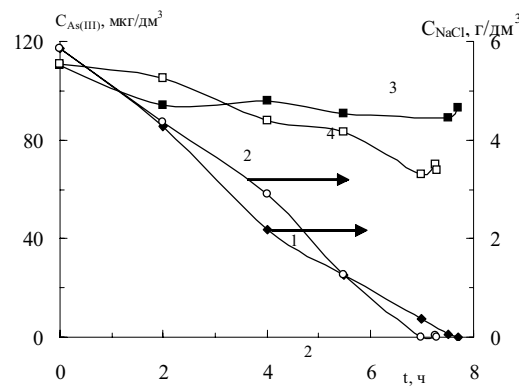


Рис. 1. Кинетика удаления хлорида натрия (кривые 1,2) и As(III) (кривые 3,4) в процессе электродиализного опреснения модельного раствора с использованием немодифицированных (1,3) и модифицированных (2,4) анионитовых мембран

Примечание: Продолжительность модификации каждой из мембран MA-40 – 7 ч; pH опресняемых растворов – 7,9–8,2.

Как видно из рис. 1 (кривые 1, 3), содержание арсенита в растворе в процессе опреснения практически не изменяется, в то время как содержание фонового электролита (хлорида натрия) снижается до 0,1 г/дм³ и даже ниже. Модификация мембран MA-40 соединениями марганца на протяжении 7 ч повышает степень удаления As(III) из раствора в процессе электродиализного опреснения с 19 до 37%. Это объясняется окислением As(III) соединениями Mn(IV) с образованием хорошо диссоциирующей арсенатной кислоты и дальнейшей электромиграцией арсенат-иона через анионообменную мембрану.

Увеличение продолжительности модификации анионитовых мембран до 14 ч способствует дальнейшему повышению эффективности удаления соединений As(III), при этом степень их извлечения достигает уже 52–56% (рис. 2).

Катионы Mn(II), образуемые в опресняемом растворе в результате взаимодействия As(III) с малорастворимыми соединениями марганца, удаляются путем электромиграции через катионообменные мембранны и содержание их в опресненной воде не превышает 0,05 мг/дм³ (ПДК марганца для питьевой воды).

Эффективность извлечения арсената в процессе электромембранных опреснения превы-

шает эффективность извлечения арсенита (рис. 3), тем не менее, степень очистки воды от пятивалентного мышьяка в процессе электродиализного опреснения не превышает 70% даже при повышении глубины опреснения раствора до 0,10–0,05 г/дм³.

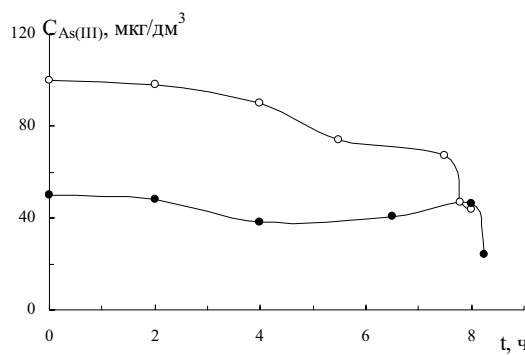


Рис. 2. Кинетика удаления мышьяка в процессе электродиализного опреснения модельных растворов As(III) с использованием модифицированных соединениями марганца анионообменных мембран MA-40

Примечание: Продолжительность модификации каждой из мембран MA-40 – 14 ч; pH опресняемого раствора – 8,2.

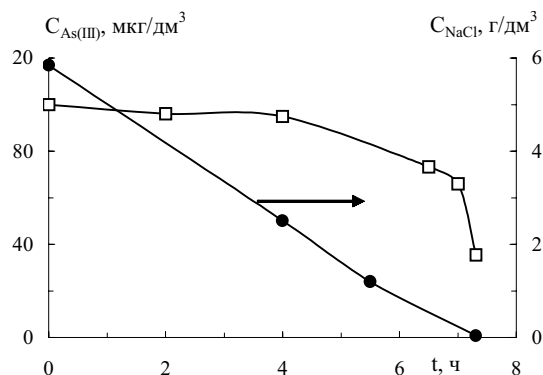


Рис. 3. Кинетика удаления As(V) и хлорида натрия в процессе электродиализного опреснения модельного раствора с использованием мембран MK-40 и MA-40. pH – 8,2

Как видно из рисунка, эффективность удаления арсената резко увеличивается на последних стадиях опреснения раствора, когда его общее солесодержание существенно снижается. Аналогичная закономерность наблюдалась нами также при электродиализном извлечении в щелочной среде микроколичеств бора [11], и она объясняется снижением конкурирующего влияния на электромиграцию микроэлемента других компонентов раствора. Как видно из уравнения 1, выход по току микрокомпонента (\bar{t}_1) может достигать ощутимых величин лишь при снижении концентрации макрокомпонента (C_2)

$$\bar{t}_1 = \frac{\bar{C}_1 \bar{U}_1}{\bar{C}_1 \bar{U}_1 + \bar{C}_2 \bar{U}_2},$$

где \bar{C}_1 , \bar{C}_2 , \bar{U}_1 , \bar{U}_2 – концентрации и подвижности в мембране соответственно микро- и макрокомпонента.

Учитывая то, что предельно-допустимая концентрация мышьяка в питьевой воде составляет лишь 10 мкг/дм³, становится очевидным, что ее достижение в процессе электродиализа является проблематичным, поскольку требует практически полного обессоливания раствора.

Результаты исследования задержки As(V) и As(III) в процессе обратноосмотической обработки модельных растворов представлены в табл. 1.

Таблица 1
Результаты обратноосмотической обработки модельных растворов As(V) и As(III) с использованием мембранны ESPA-1. Р=3,0 МПа, Т=15°C. Степень отбора пермеата – 50%

Модельный раствор	C_{As} , в исходном, мкг/дм ³	C_{As} , в пермеате, мкг/дм ³	R, %
	50,0	0,6	
As(V)	100,0	1,4	98,6
	200,0	4,6	97,7
	300,0	3,0	99,0
	100,0	24,5	75,5

Как видно из табл. 1, даже при исходной концентрации As(V) в модельном растворе 300,0 мкг/дм³, концентрация мышьяка в пермеате составляет лишь 3,0 мкг/дм³, что в три раза ниже предельно-допустимой концентрации этого микрокомпонента в питьевой воде. В то же время, коэффициент задержки As(III) мембранный ESPA-1 в аналогичных условиях составляет лишь 75,5 %.

Очевидно, что гарантией высокоэффективной задержки соединений мышьяка в процессе обратного осмоса является полная трансформация As(III) в As(V) в процессе предварительной обработки.

Нами показано, что наличие предварительной кавитационной обработки с использованием ультразвука приводит к заметному росту коэффициента задержки мышьяка: в условиях эксперимента – с 75,5 до 88,7% (табл. 2).

Как отмечается в [12], в процессе кавитационной обработки после схлопывания кавитационных пузырьков в раствор переходят продукты распада молекул воды и продукты рекомбинации радикалов, выявленные методом спиновых ловушек. Это приводит к накоплению в воде молекулярного кислорода, H₂O₂ и других

Таблица 2

Результаты обратноосмотической обработки модельных растворов As(III), прошедших предварительную кавитационную обработку. Мембрана ESPA-1, Р=3,0 МПа

Продолжительность УЗ обработки, мин	C _{As} (III), в исходном, мкг/дм ³	ОВП, мВ	T, °C	C _{As} , в пермеате, мкг/дм ³	R, %
1	100,0	192	43	24,7	75,3
3	100,0	195	62	18,5	81,5
5	100,0	215	75	11,3	88,7

Примечание: ОВП – окислительно-восстановительный потенциал раствора после УЗ обработки, Т – температура раствора после УЗ обработки.

Таблица 3

Результаты обратноосмотической обработки модельных растворов As(III), прошедших предварительную УФ и УФ/TiO₂ обработку. Мембрана ESPA-1, Р=3,0 МПа, Т=15°C

t, мин	УФ+ООс			УФ/TiO ₂ +ООс			R, %
	C _{As} (III), в исходном, мкг/дм ³	C _{As} , в пермеате, мкг/дм ³	R, %	C _{As} (III), в исходном, мкг/дм ³	C _{УФ+TiO2} , мкг/дм ³	C _{As} , в пермеате, мкг/дм ³	
1	–	–	–	100,0	81,2	4,8	94,1
3	–	–	–	100,0	55,7	1,1	98,0
5	100,0	2,9	97,1	100,0	36,0	0,8	97,8
10	100,0	0,7	99,3	100,0	44,5	0,8	98,2
15	100,0	2,7	97,3	–	–	–	–
20	–	–	–	100,0	27,3	0,9	96,7
30	300,0	2,7	99,1	–	–	–	–

Примечание: t – длительность УФ или УФ/TiO₂ обработки; C_{УФ+TiO2} – концентрация мышьяка в растворе после УФ/TiO₂ обработки.

соединений, которые, очевидно, и обеспечивают окисление As(III) до As(V).

Рост ОВП раствора в процессе УЗ обработки (табл. 2) подтверждает это объяснение. Поскольку после УЗ обработки температура раствора повышается (табл. 2), перед проведением обратноосмотических исследований растворы охлаждали до 25°C.

Результаты обратноосмотической обработки мышьякодержащих растворов, прошедших предварительную УФ и УФ/TiO₂ обработку, приведены в табл. 3.

Как видно из табл. 3, применение предварительной УФ и УФ /TiO₂ обработки уже на протяжении 1–5 мин обеспечивает рост коэффициента задержки мышьяка мембранный ESPA-1 с 75,5 до 94,1–98,0%, а концентрация этого микрокомпонента в пермеате снижается до 0,8–2,9 мкг/дм³, что значительно ниже предельно-допустимой концентрации мышьяка в питьевой воде.

Выходы

Таким образом, наши исследования показали, что даже при сравнительно низком содержании As(V) и As(III) в воде (50–100 мкг/дм³) метод электродиализа не позволяет получать диализаты, удовлетворяющие требования к питьевой воде по содержанию этого микроэлемента.

та.

Коэффициент задержки As(V) в процессе обратноосмотического орошения с использованием мембранны ESPA-1 достигает 97,7–99,0% при исходной концентрации мышьяка в растворе 50,0–300,0 мкг/дм³, в то время, как аналогичная характеристика для As(III) составляет лишь 75,5%. Следовательно, гарантией высокоеэффективного удаления соединений мышьяка из воды в процессе обратного осмоса является полная трансформация As(III) в As(V) в процессе предварительной обработки.

Нами показано, что применение предварительной УФ или УФ/TiO₂ обработки на протяжении 1–5 мин обеспечивает рост коэффициента задержки мышьяка мембранный ESPA-1 до 94,1–98,0%, а концентрация этого микрокомпонента в пермеате составляет 0,8–4,8 мкг/дм³, что значительно ниже предельно-допустимой концентрации мышьяка в питьевой воде. Особенно перспективным является использование УФ реакторов с локализованным на их поверхности слоем фотокатализатора TiO₂, что обеспечивает эффективное окисление As(III) до As(V) на протяжении короткого промежутка времени.

Технологическая схема, включающая УФ/TiO₂+ООс обработку, может быть успешно

использована для глубокой очистки от мышьяка вод с широким спектром концентраций этого микроэлемента.

СПИСОК ЛИТЕРАТУРЫ

1. Smedley D.G., Kinniburgh D.G. A review of the source, behaviour, and distribution of arsenic in natural waters // Applied Geochemistry. – 2002. – Vol.17. – № 5. – P.517-568.
2. DeMarco M.J., SenGupta A.K. and Greenleaf J.E. Arsenic removal using a polymeric/inorganic hybrid sorbent // Water Research. – 2003. – Vol.37. – № 1. – P.164-176.
3. Ning Robert Y. Arsenic removal by reverse osmosis // Desalination. – 2002. – Vol.143. – № 3. – P.237-241.
4. Effect of pH on the removal of arsenic and antimony using reverse osmosis membranes / Kang M., Kawasaki M., Tamada S., Kamei T. and Magara Y. // Desalination. – 2000. – Vol.131. – P.293-298.
5. Frenkel Val.S. Seawater Desalination: Trends and Technologies Desalination // Trends and Technologies. Edited by Michael Schorr. – ISBN: 978-953-307-311-8. – InTech Europe. – 2011. – P.119-128.
6. Новые тенденции в разработке современных нанофильтрационных систем для подготовки питьевой воды высокого качества: Обзор / А.Г. Первов, А.П. Андрианов, Р.В. Ефремов, Ю.В. Козлова // Критические технологии. Мембранны. – 2005. – Т.25. – № 1. – С.18-34.
7. Мельник Л.А., Бабак Ю.В., Гончарук В.В. Соединения мышьяка в природных и питьевых водах: распространение, влияние на здоровье человека, существующие методы очистки // Химия и технология воды. – 2012. – Т.34. – № 3. – С.273-282.
8. Castro de Esparza M.L. Removal of arsenic from drinking water and soil bioremediation. Формат доступу: <http://www.bvsde.ops-oms.org/bvsacd/cd51/arsenic-water.pdf>.
9. Liudmyla Melnyk, Vladyslav Goncharuk. Electrodialysis of solutions containing Mn (II) ions // Desalination. – 2009. – Vol.241. – P.49-56. Химия и технология воды – 1988. – Т.10. – № 4. – С.344-347.
10. Фотолиз вод с разным изотопным составом // Гончарук В.В., Самсони-Тодоров А.О., Зуй О.В., Романюкина И.Ю., Яременко В.А. // Химия и технология воды – 2014. – Т.36. – № 3. – С.220-228.
11. Обессоливание борсодержащих растворов с применением гетерогенных мембран МК-40 и МА-40 / А.Т. Пилипенко, В.Д. Гребенюк, Л.А. Мельник, Л.В. Емец // Химия и технология воды – 1988. – Т.10. – № 4. – С.344-347.
12. Промтров М.А. Перспективы применения кавитационных технологий для интенсификации химико-технологических процессов // Вестник ТГТУ. – 2008. – Т.14. – № 4. – С.861-869.

Поступила в редакцию 17.11.2014

ARSENIC COMPOUNDS REMOVAL DURING WATER DESALINATION BY ELECTRODIALYSIS AND REVERSE OSMOSIS

L.A. Melnyk, Yu.V. Babak, A.J. Samsoni-Todorov,
V.V. Goncharuk

A.V. Dumanskiy Institute of Colloid and Water Chemistry of
NAS of Ukraine, Kiev, Ukraine

The membrane desalination processes of the standard test solutions containing As(V) and As(III) compounds are investigated. The ion-exchange membranes MK-40, MA-40 and reverse osmotic membrane ESPA-1 have been used as membranes. It is shown that the method of electrodialysis does not allow receiving the dialyzates satisfying the requirements to the content of this trace element (10 µg/L) in potable water even at a rather low As contents in water (from 50 to 100 µg/L). The retention coefficient of As(V) during reverse osmotic desalination reaches 97.7 to 99.0% at an initial concentration of arsenic in solution of 50 to 300 µg/L while the similar characteristic for As(III) reaches only 75.5%. Thus, the full transformation of As(III) to As(V) by pretreatment provides a highly effective removal of arsenic compounds during reverse osmotic treatment. It was shown that the application of preliminary ultraviolet (UV) or UV/TiO₂ treatments of the As(III) containing solutions with a duration of 1 to 5 minutes provides an increase in the retention coefficient of arsenic by membrane ESPA-1 up to 97.1–98.0%, the concentration of this microcomponent in permeate being reduced to 0.8–2.9 µg/L.

Keywords: arsenic compounds, removal; water; electrodialysis; reverse osmosis.

REFERENCES

1. Smedley D.G., Kinniburgh D.G. A review of the source, behaviour, and distribution of arsenic in natural waters. *Applied Geochemistry*, 2002, vol. 17, no. 5, pp. 517-568.
2. DeMarco M.J., SenGupta A.K., Greenleaf J.E. Arsenic removal using a polymeric/inorganic hybrid sorbent. *Water Research*, 2003, vol. 37, no. 1, pp. 164-176.
3. Ning Robert Y. Arsenic removal by reverse osmosis. *Desalination*, 2002, vol. 143, no. 3, pp. 237-241.
4. Kang M., Kawasaki M., Tamada S., Kamei T., Magara Y. Effect of pH on the removal of arsenic and antimony using reverse osmosis membranes. *Desalination*, 2000, vol. 131, pp. 293-298.
5. Frenkel V.S., Seawater Desalination: Trends and Technologies Desalination. In *Trends and Technologies*. Ed. M. Schorr., 2011, pp. 119-128. (ISBN: 978-953-307-311-8).
6. Первов А.Г., Андрианов А.П., Ефремов Р.В., Козлова Ю.В. Новye tendentsii v razrabotke sovremenyykh sistem dlya podgotovki pitjevoi vody vysokogo kachestva. Obzor. [The new trends in the development of the up-to date nanofiltration system of the high quality drinking water treatment. A review]. *Kriticheskie technologii. Membrany*, 2005, vol. 25, no. 1, pp. 18-34. (in Russian).
7. Melnik L.A., Babak Yu.V., Goncharuk V.V. Soedineniya mysh'yaka v prirodnuych i pit'evych vodach: rasprostraneniye, vliyanije na zdrorov'ye cheloveka, sushestvuyushie metody ochistki [Arsenic compounds in natural and drinking water: occurrence, effect on human health, and methods of removal]. *Khimiya i Tekhnologiya Vody*, 2012, vol. 34, no. 3, pp. 273-282. (in Russian).
8. Castro de Esparza M.L., Removal of arsenic from drinking water and soil bioremediation. Available at: <http://www.bvsde.ops-oms.org/bvsacd/cd51/arsenic-water.pdf>.
9. Melnyk L., Goncharuk V. Electrodialysis of solutions containing Mn (II) ions. *Desalination*, 2009, vol. 241, pp. 49-56.
10. Goncharuk V.V., Samsoni-Todorov A.O., Zuy O.V., Romanyukina I.Yu., Yaremenko V.A. Fotoliz vod s raznym izotopnym sostavom [Photolysis of water with different isotopic composition]. *Khimiya i Tekhnologiya Vody*, 2014, vol. 36, no. 3, pp. 220-228. (in Russian).

11. Pilipenko A.T., Grebeniuk V.D., Melnik L.A., Emets L.V. Obessolivanie borsoderzhashchich rastvorov s ispolzovaniem geterogennych membran MK-40 i MA-40 [Desalination of boron-containing solutions using heterogeneous membrane MK-40 and MA-40]. *Khimiya i Tekhnologiya Vody*, 1988, vol. 10, no. 4, pp. 344-347. (in Russian).
12. Promtov M.A. Perspektivy priminyeniya kavitatsionnykh tekhnologii dlya intensifikatsii khimiko-tehnologicheskikh protsessov [Prospects of the cavitation technology using to intensification of the chemical engineering processes]. *Vestnik TGTU*, 2008, vol.14, no. 4, pp. 861-869. (in Russian).